

# تعیین شرایط گرمایش در فرایند شکل‌دهی ورق به روش

## خمکاری شعله‌بی

سید جلال همتی (استاد بار)

دانشکده فنی - بخش مهندسی مکانیک، دانشگاه هرمزگان

محمدعلی نیازی (استاد بار)

مهدی معرفت (استاد بار)

دانشکده فنی، دانشگاه تربیت مدرس

رضانقدآبادی (استاد بار)

دانشکده مهندسی مکانیک، دانشگاه صنعتی شریف

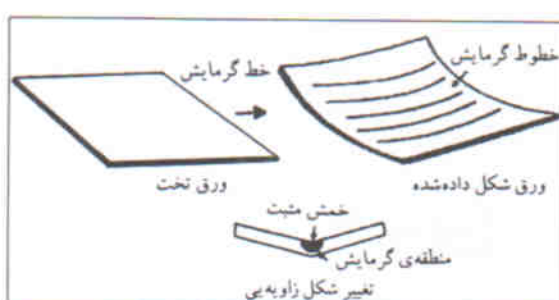
در صنعت از فرایند خمکاری شعله‌بی برای شکل‌دهی قطعه کارهای بزرگ و تیرها در سازه‌های فولادی از جمله موارد کاربرد این فرایند هستند. در اکثر موارد فرایند به صورت دستی انجام مطالعات پارامتری، پارامترهای مؤثر بر فرایند خمکاری شعله‌بی ورق‌های فولادی مورد ارزیابی قرار می‌گیرد. برای شبیه‌سازی از تحلیل‌های کلسانی - خمیری گرمایی فرایند استفاده می‌شود. با انجام شبیه‌سازی‌های عددی و به کمک تحلیل ابعادی، پس از تعیین متغیرهای ورودی و با استفاده از تحلیل رگرسیون چندتایی متغیرهای مؤثر شناسایی شده، بین پارامترهای گرمایش و انحنای پسماند ورق یک رابطه ارائه می‌شود. از رابطه‌ی به دست آمده می‌توان برای پیش‌بینی میزان تغییر شکل ورق و خودکاری فرایند استفاده کرد.

نیز برای انتقال این تجارت انجام گرفته است، ولی تجارت آنها قابل فرمول‌بندی نیستند. به همین دلیل معمولاً از شبیه‌سازی‌های میدانی یا نظری استفاده می‌شود. بعضی از محققان شبیه‌سازی‌های میدانی انجام داده‌اند<sup>[۱] و [۲]</sup>، ولی بدليل بالا بودن هزینه‌های آزمایش‌های تجربی و نیز پیشرفت‌های رایانه‌یی، معمولاً از شبیه‌سازی‌های عددی استفاده می‌شود. با انجام شبیه‌سازی‌های ترمومکانیکی، می‌توان مجموعه‌یی از داده‌ها برای استخراج روابط نظری یا برای استفاده از الگوریتم شبکه عصبی<sup>[۳]</sup> تشکیل داد. برای این منظور، معمولاً ورقی با یک خط گرمایش مرکزی، یا با خطوط گرمایش در موقعیت‌های

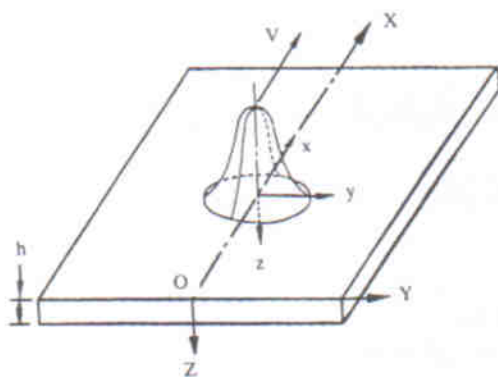
### مقدمه

در فرایند خمکاری شعله‌بی، با اعمال حرارت ناشی از شعله‌ی یک مشعل گازی، به قطعه کار شکل می‌دهند. کاربرد این روش در صنعت سایقه‌ی طولانی دارد. کاربرد این روش، به خصوص برای ورق‌های فولادی بزرگ و با انحنای مركب (انحناء گوسی غیرصفرا) که شکل‌دهی آنها به روش‌های دیگر سخت و پرهزینه است، اقتصادی و مفید است. بدليل ساده بودن ابزار مورد نیاز و هزینه‌های پائین، این روش از محبوبیت بالایی برخوردار است. هرگاه در شکل‌دهی ورق از بالای وجه گرم شده به آن نگاه شود در راستای خط گرمایش، ورق یک انحنای پسماند مشیت خواهد داشت. شکل ۱ شماتیک ورق تخت اولیه و ورق شکل داده شده با اعمال چند خط گرمایش را نشان می‌دهد. پس از اتمام عملیات گرمایش، ورق در راستای خط گرمایش و عمود بر آن دچار تغییر شکل زاویه‌یی و انقباض صفحه‌یی دائمی خواهد شد.

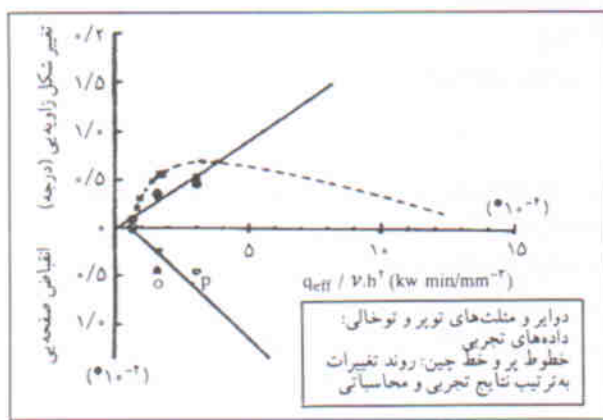
برای تعیین شرایط گرمایش باید روابط بین پارامترهای فرایند و میزان تغییر شکل ورق را شناسایی کرد. تکنسین‌های ماهر براساس پیش تجربی خود به طور کیفی به این روابط دست یافته‌اند. مطالعاتی



شکل ۱. ورق تخت اولیه و سطح نهایی پس از فرایند خمکاری شعله‌بی.



شکل ۳. مدل توزیع گوسی نرمال شار حرارت شعله.

شکل ۴. نتایج مطالعه تجربی نوموتو.<sup>[۲]</sup>

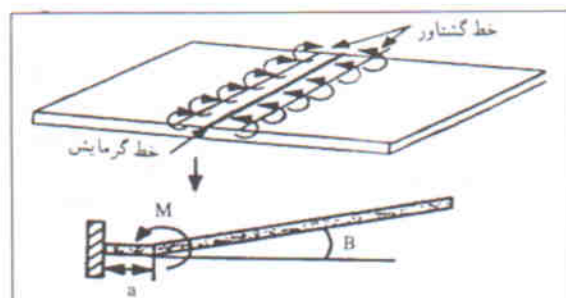
مؤثر شعله، سرعت مشعل و ضخامت ورق — به صورت تجربی بررسی کرد.<sup>[۱]</sup> ادر شکل ۴ نتایج مطالعات وی نشان داده شده است. در این شکل تغییر شکل زاویه بی و انقباض صفحه بی در راستای عمود بر خط گرمایش و بر حسب مقادیر مختلف متغیر  $q_{eff}/v.h^2$  رسم شده است. براساس این نتایج، رابطه‌ی متغیر  $q_{eff}/v.h^2$  با تغییر شکل زاویه بی ورق، غیرخطی است و رابطه‌ی آن با انقباض صفحه بی به صورت خطی معکوس پیش‌بینی می‌شود. اندامکارانش نیز آنها برای مطالعات پارامتری خود از دو متغیر بی بعد  $\theta$  و  $\beta$  استفاده کرده‌اند. در شکل‌های ۵ و ۶ به ازاء مقادیر مختلف  $\theta$  و  $\beta$  تغییر شکل زاویه بی و انقباض صفحه بی نرمال ورق ترسیم شده‌اند. لی تغییر شکل زاویه بی و انقباض صفحه بی در راستای خط گرمایش و عمود بر آن را مورد مطالعه قرار داده است.<sup>[۶]</sup> او با انتخاب ضخامت ورق، سرعت مشعل و توان مؤثر شعله به عنوان پارامترهای گرمایش، رابطه‌ی آنها را با تغییر شکل‌های فوق مورد بررسی قرار داد.

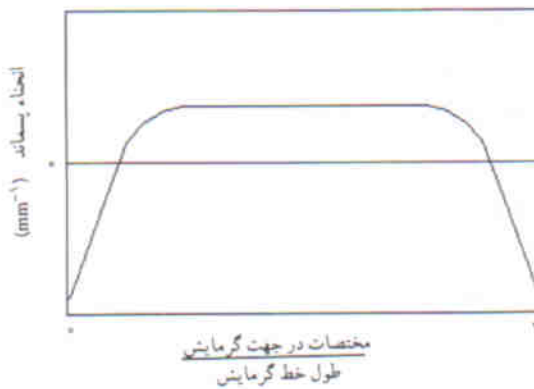
مختلف را در نظر می‌گیرند و با تغییر پارامترهای گرمایش، مقدار تغییر شکل ورق اندازه‌گیری و در اثیاره داده‌ها ذخیره می‌شود. از نتایج این شبیه‌سازی‌ها و تحلیل‌های آماری می‌توان به روابط کمی موجود بین پارامترهای گرمایش و میزان تغییر شکل پی برد.

هرگاه موقعیت خط گرمایش معلوم باشد، از میزان تغییر شکل زاویه بی یا صفحه بی در راستای خط گرمایش یا عمود بر آن می‌توان شرایط گرمایش را تخمین زد. به طور کلی منظور از شرایط گرمایش، شرایط خاص تنظیم پارامترهای مشعل نسبت به مشخصات ورق و میزان تغییر شکل آن است. معمولاً مشعل با سرعت ثابت و تحت فاصله‌ی یکسان از سطح در راستای خط گرمایش حرکت می‌کند. بسته به نوع مدل‌سازی شعله‌ی مشعل و فرضیات به کار رفته در روش‌های محاسباتی، پارامترهای گرمایش متفاوت‌اند.

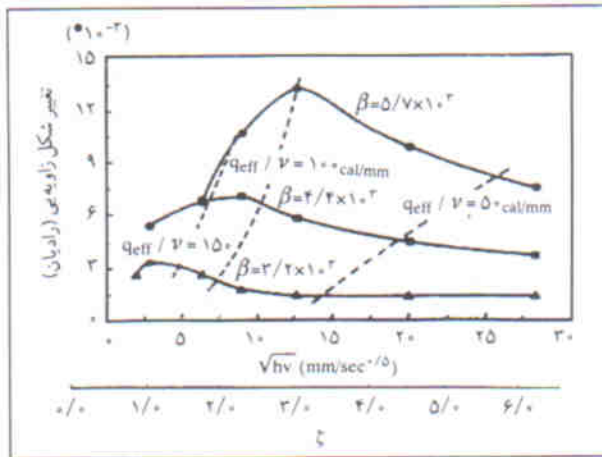
محققان رابطه‌ی بین شرایط گرمایش با گشتاور خمشی حرارتی ایجاد شده در ورق را بررسی کردند.<sup>[۱]</sup> به این ترتیب با انجام شبیه‌سازی‌هایی از فرایند، در گام اول رابطه‌ی بین گشتاور خمشی (M) با درجه حرارت (T) و سرعت مشعل (v) و همچنین ضخامت ورق (h) در نظر گرفته شده است. در گام بعد با ساده‌سازی خمشی ورق با خمش تیر یکسر گیردار رابطه‌ی بین تغییر شکل زاویه بی ورق ( $\hat{\theta}$ ) با M به دست آمده است (شکل ۲). به این ترتیب، با معلوم بودن مقادیر تجربی  $\hat{\theta}$ , M از رابطه دوم، و پارامترهای گرمایش از رابطه اول قابل محاسبه خواهد بود.

بعضی از محققان از جمله نوموتو، اندامکار شعله را با توزیع گوسی نرمال مدل کرده‌اند.<sup>[۱]</sup> در شکل ۳ توزیع شار ورودی و سیستم‌های مختصات ساکن و متحرک را نشان می‌دهد. شکل منحنی توزیع گوسی با دو پارامتر توان مؤثر شعله ( $q_{eff}$ ) و ضریب تمرکز آن ( $\sigma$ ) مشخص می‌شود. نوموتو با انتخاب تغییر شکل زاویه بی و انقباض صفحه بی عمود بر راستای گرمایش به عنوان شاخص‌های تغییر شکل ورق، رابطه‌ی آنها را با پارامترهای گرمایش — یعنی توان

شکل ۲. مدل‌سازی خمش ورق با خمش تیر یکسر گیردار.<sup>[۶]</sup>

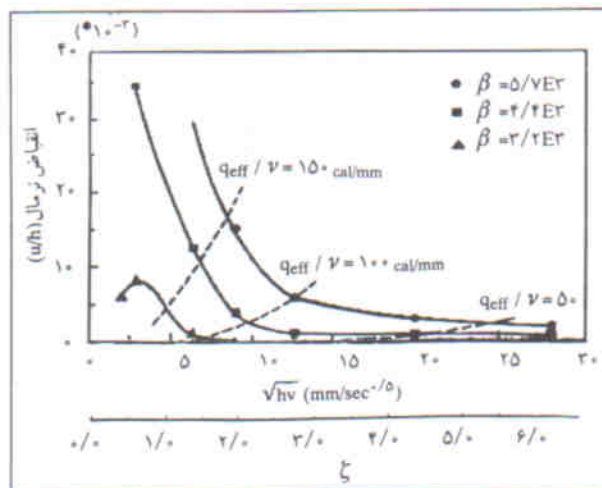


شکل ۷. انحنای ورق در راستای خط گرمایش واقع در وسط ورق.



شکل ۵. نتایج آندا برای تغییر شکل زاویه بینی ورق بر حسب [۱۵]

طی یکسری مطالعات پارامتری، رابطه‌ی انحنای پسماند ورق با پارامترهای گرمایش به صورت آماری مورد تحلیل قرار می‌گیرد. برای این منظور، ابتدا متغیرهای مؤثر شناسایی و سپس رابطه‌ی آنها با انحنای پسماند بررسی می‌شود. برای تعیین متغیرهای مؤثر از تحلیل ابعادی، و برای استخراج رابطه‌ی بین این متغیرها با انحنای پسماند ورق از تحلیل رگرسیون چندمتغیره استفاده می‌شود. در این تحقیق از شبیه‌سازی‌های رایانه‌یی فرایند به عنوان ابزار جمع‌آوری اطلاعات استفاده می‌شود. نتایج شبیه‌سازی‌های یه کار رفته در مقایسه با نتایج مشابه سایر محققان و داده‌های تجربی گزارش شده، مطابقت خوبی نشان می‌دهند.

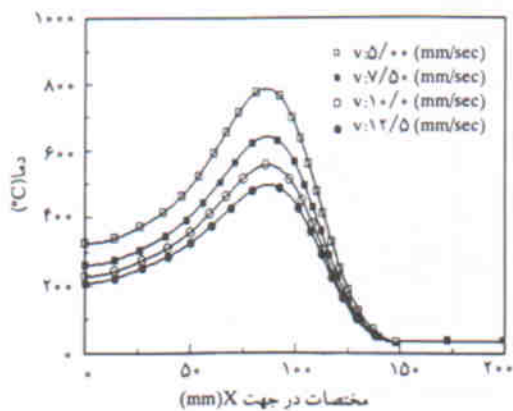


شکل ۶. نتایج آندا برای انقباض صفحه‌یی ورق بر حسب [۱۵]

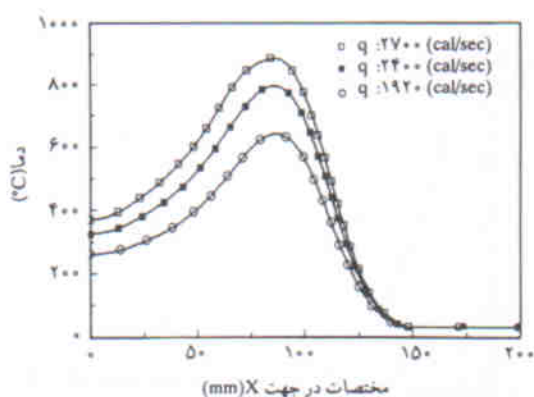
### مطالعه‌ی میدان درجه حرارت

برای تحلیل حرارتی فرایند شار حرارت شعله به صورت توزیع گوسی ترمال مدل می‌شود. به طور کلی هرچه توان مؤثر و ضریب تمرکز شعله بیشتر باشد درجه حرارت نقاط واقع در زیر شعله بالاتر و پهنای ناحیه گرم شده کمتر خواهد بود. فصل مشترک شعله با ورق بدشکل دایره فرض می‌شود. شعاع این دایره که شعاع مؤثر نامیده می‌شود، به فاصله‌یی از مرکز دایره شعله اطلاق می‌شود که در آن شار حرارت ورودی درصد معینی از شار بیشینه در مرکز است.<sup>[۲۷]</sup> در شرایط عملی برای تعیین پارامترهای شعله از نتایج اندازه‌گیری تجربی استفاده می‌شود. به این ترتیب به‌ازاء هر تنظیم خاص از مشعل (فاصله سرمشعل تا ورق، ابعاد سرمشعل و نسبت و فشار گازهای سوختی)، از طریق مقایسه نتایج محاسباتی با توزیع درجه حرارت اندازه‌گیری شده در یک قطعه کار استاندارد پارامترهای شعله را تخمین می‌زنند. از مطالعات به عمل آمده ملاحظه می‌شود که به‌ازاء هر تنظیم خاص از مشعل، مقادیر منحصر به‌فردی برای پارامترهای شعله

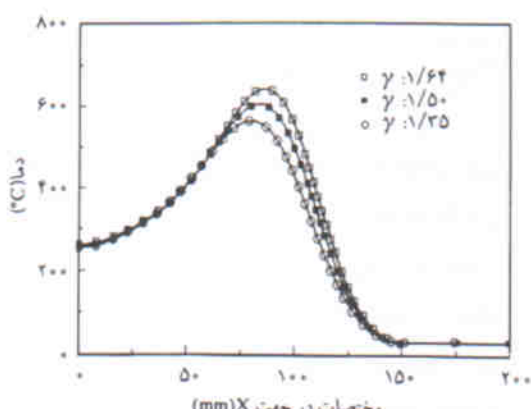
در مطالعات قبلی تغییر شکل زاویه‌یی و یا انقباض صفحه‌یی به عنوان شاخص‌های تغییر شکل ورق در نظر گرفته شده‌اند و براساس این شاخص‌ها شرایط گرمایش پیش‌بینی می‌شوند. در این مطالعه شاخص جدیدی برای تعیین شرایط گرمایش مورد بررسی قرار گرفته است. شکل ۷ وضعیت انحنای پسماند ورق در راستای خط گرمایش را نشان می‌دهد. هرگاه حرکت مشعل از بیرون ورق شروع و به بیرون آن ختم شود (شکل ۷) در فواصل دور از لبه‌های ورق، انحنای ایجاد شده در راستای خط گرمایش ثابت می‌ماند. در این شکل، در قسمت‌های نزدیک لبه‌ها، ورق دارای انحنای متغیر منفی است و در فواصل دورتر انحنای تقریباً ثابت و مثبت دارد. انتظار می‌رود تغییرات انحنای پسماند ورق در نزدیکی لبه‌ها ناشی از اثرات لبه‌یی باشند. ایجاد انحنای ثابت در راستای خط گرمایش می‌تواند شاخصی از تغییر شکل ورق برای تعیین شرایط گرمایش باشد. در این نوشتار



شکل ۹. تأثیر سرعت مشعل بر توزیع درجه حرارت.



شکل ۱۰. تأثیر توان مؤثر مشعل بر توزیع درجه حرارت.



شکل ۱۱. تأثیر ضریب تحرک کشله بر توزیع درجه حرارت.

درجه حرارت در راستای خط گرمایش به ازاء مقادیر مختلف  $q_{eff}$  و  $\gamma$  هستند.

در شبیه‌سازی‌های انجام شده به روش اجزاء محدود، نقش خواص مواد مورد بررسی قرار گرفتند (شکل ۱۲).

در تحلیل‌های مربوط به این شکل خواص مواد یکبار در ۲۰ °

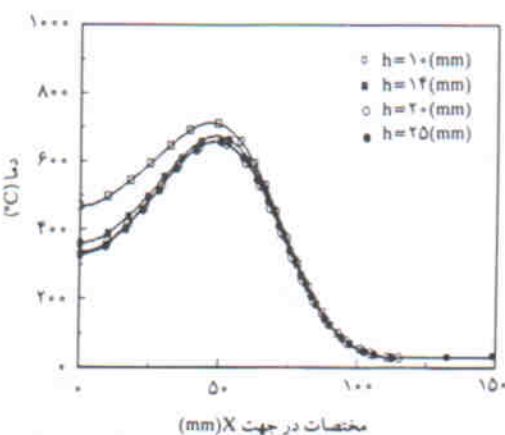
وجود دارند که مشخصات میدان درجه حرارت، از جمله بیشینه‌ی درجه حرارت ( $T_{max}$ ) سطح را برآورده می‌کنند. بنابراین برای قطعه کار استانداردی به ابعاد معین، و مشعل با سرعت و پارامترهای معلوم، مقدار معینی از  $T_{max}$  حاصل خواهد شد. مؤلفان در مقالات قبلی به بررسی روش حل عددی و تحلیلی میدان درجه حرارت در این فرایند پرداخته‌اند [۱۶].

تفیر شکل ورق در فرایند گرمایش خطی تحت تأثیر متغیرهای متعددی است. ابعاد ورق، خواص مواد، سرعت مشعل و مشخصات شعله از مهم‌ترین متغیرها هستند. از عوامل مؤثر دیگر می‌توان به اثرات لبه‌ی و ناهمگنی ناشی از کارسرد اولیه و خطوط گرمایش قبلی اشاره کرد. در این تحقیق، برای بررسی نقش پارامترهای مؤثر یک سری تحلیل‌های حرارتی به روش عددی و تحلیلی انجام شده‌اند. نتایج این تحلیل‌ها در شکل‌های ۸ تا ۱۵ آورده شده‌اند.

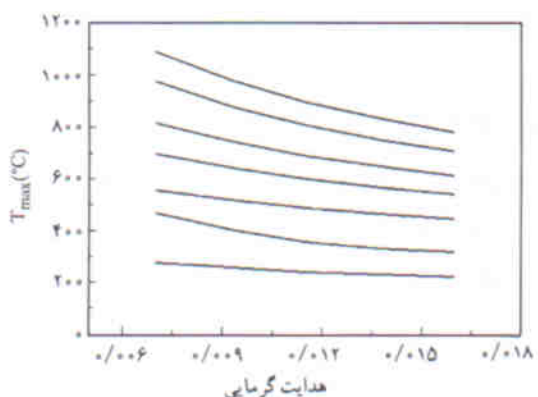
شکل ۸ نشان‌گر توزیع درجه حرارت در راستای خط گرمایش و بداعای ضخامت‌های مختلف است. همان طوری که ملاحظه می‌شود با افزایش ضخامت تاحدی از درجه حرارت بیشینه‌ی سطح ( $T_{max}$ ) در وجه گرم شده کاسته شده و سرعت خنک شدن افزایش می‌یابد.

سرعت مشعل و پارامترهای شعله ( $q_{eff}$  و  $\gamma$ ) نقش مهمی بر توزیع درجه حرارت دارند. از نظر فیزیکی انتظار می‌رود با افزایش سرعت مشعل عمق نفوذ حرارت کم‌تر و گرادیان درجه حرارت بیشتر شود. شکل ۹ مovid این واقعیت است. در این شکل توزیع درجه حرارت به ازاء سرعت‌های مختلف مشعل دما-مکان در راستای خط گرمایش نشان‌داده شده است.

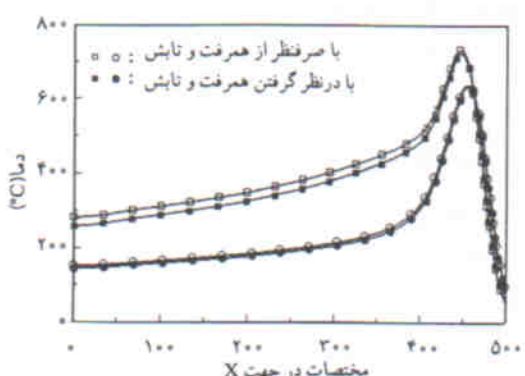
به همین ترتیب هر چه  $q_{eff}$  و یا  $\gamma$  بیشتر باشند درجه حرارت بیشینه بالاتر خواهد رفت زیرا شار حرارت بیشتری با مرکز بیشتر به ورق اعمال خواهد شد. شکل‌های ۱۰ و ۱۱ به ترتیب نشان‌گر توزیع



شکل ۸. تأثیر ضخامت ورق بر توزیع درجه حرارت.



شکل ۱۴. تأثیر ضریب هدایت گرمایی بر  $T_{max}$ .



شکل ۱۵. تأثیر تبادل حرارتی ورق با هوای اطراف برای ضخامت‌های مختلف.

از جمله ضخامت‌های مختلف میزان تبادل حرارت متفاوت است، کلاً تأثیر قابل توجهی بر توزیع درجه حرارت ندارد.

#### تحلیل ابعادی میدان درجه حرارت

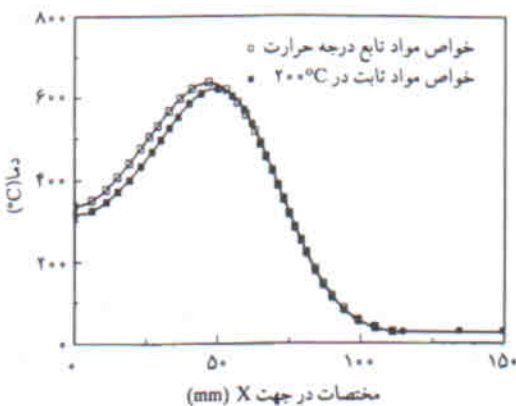
براساس توضیحات بخش قبل ضخامت ورق، سرعت مشعل، توان مؤثر و ضریب تمرکز شعله، ظرفیت حرارتی و ضریب هدایت گرمایی از جمله عوامل مؤثر بر میدان درجه حرارت، و تیجتاً بر تغییر شکل ورق هستند. به جای ضریب تمرکز شعله می‌توان از شعاع مؤثر آن نیز استفاده کرد. همان طوری که قبلاً اشاره شد شعاع مؤثر شعله به فاصله‌یی از مرکز شعله گفته می‌شود که در آن شار ورودی حرارت در صد معنی از شار پیشینه باشد. به طور کلی می‌توان درجه حرارت در هر نقطه را چنین تعریف کرد:

$$T = f(h, v, q_{eff}, r, c, k) \quad (1)$$

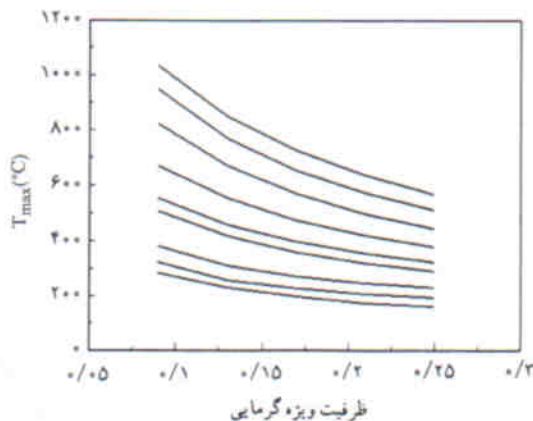
هرگاه  $T_{max}$  را به عنوان شاخص میدان درجه حرارت فرض کنیم. از مطالعات بالا نتیجه می‌شود که  $T_{max}$  دارای رابطه مستقیم با  $q_{eff}$  و رابطه عکس با  $v, h$  است.

درجه سانتی‌گراد، و بار دیگر به صورت تابع درجه حرارت فرض شده‌اند، منحنی مربوط به خواص مواد تابع درجه حرارت دارای  $T_{max}$  بالاتر و پهنای بیشتری است. بدعبارت دیگر، ثابت فرض کردن خواص مواد در مرحله‌ی گرم شدن ماده تأثیر قابل ملاحظه‌یی نداشته و فقط بر مقدار  $T_{max}$  و سرعت سرد شدن ماده مؤثر خواهد بود. این تأثیر برای خواص مواد در صفر درجه بیشتر است. در میان خواص مواد، تغییر چگالی نسبت به درجه حرارت قابل اغماض است. در شکل‌های ۱۳ و ۱۴ شماتیک تأثیر ظرفیت حرارتی و ضریب هدایت گرمایی بر مقدار  $T_{max}$  نشان داده شده است. همان طوری که انتظار می‌رود با افزایش  $c_p$  و  $k$  مقدار  $T_{max}$  کاهش می‌یابد.

برای بررسی میزان تبادل حرارتی ورق با محیط از طریق همفت آزاد و تابش، مطالعه‌یی صورت گرفت که نتایج آن در شکل ۱۵ آمده است. در این شکل منحنی‌های توزیع درجه حرارت برای دو ضخامت مختلف  $h=10, 19\text{ mm}$  از ورق با و بدون در نظر گرفتن تبادل حرارت با محیط رسم شده‌اند. گرچه به ازاء پارامترهای مختلف



شکل ۱۶. توزیع درجه حرارت برای خواص مواد (M.P.) ثابت و تابع دما.



شکل ۱۷. تأثیر ظرفیت ویژه گرمایی بر  $T_{max}$ .

در بین روابط ۷، رابطه سوم امکان کمتری دارد زیرا در آن تأثیر  $k$  در نظر گرفته نشده است. براساس این روابط، می‌توان متغیرهای زیر را به عنوان متغیرهای پیشنهادی برای برآش یک رابطه نظری پیش‌بینی کرد:

$$\frac{q_{eff}}{r\sqrt{ckvh}}, \frac{q_{eff}}{h\sqrt{ckvr}}, \frac{q_{eff}}{\sqrt{ckvh^3}}, \frac{q_{eff}}{\sqrt{ckvr^3}}, \frac{q_{eff}}{cvrh}, \frac{q_{eff}}{cvr^3}, \frac{q_{eff}}{cvh^3} \quad (8)$$

این متغیرها از نظر ابعادی با  $T_{max}$  هم‌بعدند و در آنها نوع روابط خطی یا غیرخطی مستقیم یا معکوس لحاظ شده است.

در مطالعات حرارتی بخش قبل اشاره شد که برای تعیین میدان درجه حرارت با راه حل تحلیلی، خواص مواد ثابت در نظر گرفته می‌شوند ولذا می‌توان در متغیرهای بالا  $c$  و  $k$  رابه عنوان ثوابت خارج کرد. با مطالعه میدان درجه حرارت ملاحظه می‌شود که به ازاء سرعت‌ها و ضخامت‌های ثابت، برای هر مقدار  $q_{eff}$  فقط یک مقدار معین  $\alpha$  وجود دارد که مشخصات میدان درجه حرارت را برآورده می‌کند، و معمولاً به ازاء هر تنظیم خاص از مشعل زوج معینی از  $q_{eff}$  و  $\alpha$  به دست می‌آید. همچنین هرگاه  $h$ ،  $r$  و  $v$  در بازه محدودی تغییر کنند تغییرات  $\alpha$  نظیر آن کم است و از نظر عملی می‌توان آن را تقریباً ثابت فرض کرد. به این ترتیب می‌توان شاعع مؤثر شعله را تیز ثابت در نظر گرفت. لذا متغیرهای پیشنهادی ۸ را می‌توان به صورت زیر خلاصه کرد:

$$\frac{q_{eff}}{\sqrt{vh}}, \frac{q_{eff}}{\sqrt{vh^3}}, \frac{q_{eff}}{\sqrt{vh^3}}, \frac{q_{eff}}{\sqrt{v}}, \frac{q_{eff}}{vh}, \frac{q_{eff}}{v}, \frac{q_{eff}}{vh} \quad (9)$$

### مطالعه پارامتری تغییر شکل ورق

برای مطالعه پارامتری تغییر شکل ورق در فرایند خمکاری شعله‌یی از روش شبیه‌سازی به کار رفته توسط همتی و همکاران استفاده شده است.<sup>[۱۰]</sup> در این روش از راه حل تحلیلی انتقال حرارت برای تعیین توزیع درجه حرارت‌های گرهی و بارگذاری حرارتی در تحلیل‌های کشسانی-خمیری گرمایی استفاده می‌شود. تحلیل تغییر شکل بزرگ کشسانی-خمیری گرمایی ماده با استفاده از برنامه تجاری ANSYS انجام می‌گیرد. در تحلیل‌های انجام شده خواص حرارتی مواد ثابت و برابر با:

$$c_p = 0.98 \text{ [cal/gr. } ^\circ \text{C]} \\ k = 0.16 \text{ [cal/sec. } ^\circ \text{C]} \\ \rho = 7.82 \text{ [gr/cm}^3\text{]} \quad (10)$$

و خواص مکانیکی به صورت تابع درجه حرارت و برابر خواص فولاد نرم در شکل ۱۶ در نظر گرفته شده‌اند. در این شکل  $E$  و  $\sigma_y$  به ترتیب عبارت‌اند از: تنش تسلیم،

براساس تحلیل ابعادی می‌توان رابطه زیر را برای  $T_{max}$  در نظر گرفت:

$$T_{max} = T(h^{\alpha_1}, v^{\alpha_2}, q_{eff}^{\alpha_3}, r^{\alpha_4}, c^{\alpha_5}, k^{\alpha_6}) \quad (2)$$

برای تعیین ناماها و متغیرهای مربوطه در رابطه ۲، از تحلیل ابعادی استفاده می‌شود. ابعاد هر یک از پارامترهای بالا عبارت‌اند از:

$$T_{max} = [\theta] \quad , \quad q_{eff} = [FLT^{-1}] \\ h, r = [L] \quad , \quad c = [FL^{-1}\theta^{-1}] \\ v = [LT^{-1}] \quad , \quad k = [FT^{-1}\theta^{-1}] \quad (3)$$

برای همگن بودن طرفین رابطه ۲ از نظر ابعادی می‌توان نوشت:

$$[\theta] = [(L)^{\alpha_1} (LT^{-1})^{\alpha_2} (L)^{\alpha_3} (FL)^{\alpha_4} (\theta)^{-1}]^{1/2} \\ (FT^{-1}\theta^{-1})^{\alpha_5}] \quad (4)$$

ولذا نتیجه می‌شود:

$$\alpha_1 + \alpha_2 + \alpha_3 + \alpha_4 - 2\alpha_5 = 0 \\ -\alpha_2 - \alpha_3 - \alpha_5 = 0 \\ \alpha_2 + \alpha_5 + \alpha_6 = 0 \\ -\alpha_5 - \alpha_6 = 1 \quad (5)$$

از حل معادلات فوق بر حسب  $\alpha$  می‌توان نوشت:

$$\alpha_1 + \alpha_4 = -2 - \alpha_6 \\ \alpha_2 = -(1 + \alpha_6) \\ \alpha_3 = 1 \\ \alpha_5 = -(1 + \alpha_6) \quad (6)$$

چون در سیستم معادلات فوق  $\alpha_3 = 1$  است باید سیستم مرکب از سه معادله و پنج مجھول را حل کرد. برای حل این سیستم نامعین می‌توان براساس ملاحظات تجربی به دست آمده، مقادیر آزمایشی مناسبی برای دو مجھول انتخاب کرده و معادلات را حل کنیم. چون در معادلات  $\alpha_2 = \alpha_5$  است با توجه به رابطه معکوس  $T_{max}$  با  $v$  و  $c$  می‌توان برای  $\alpha_2$  و  $\alpha_5$  مقادیر آزمایشی منفی انتخاب کرد. اگر رابطه عکس  $T_{max}$  با  $v$  و  $c$  را از نوع خطی یا توان دوم و یا ریشه دوم فرض کنیم، با جایگذاری و حل سیستم معادلات ۶ به ازاء

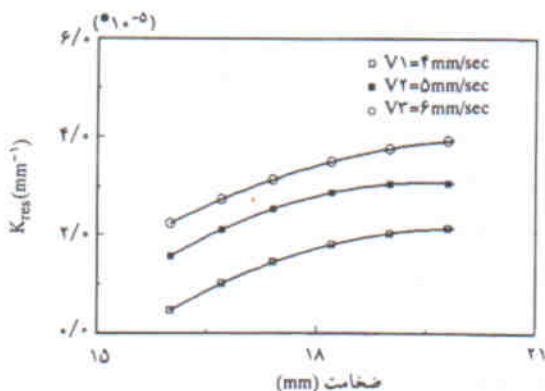
$\alpha_2 = \alpha_5 = -\frac{1}{2}$  سه حالت زیر محتمل خواهد بود:

$$T_{max} = T\left(\frac{1}{\sqrt{h}}, \frac{1}{\sqrt{v}}, q_{eff}, \frac{1}{r}, \frac{1}{\sqrt{c}}, \frac{1}{\sqrt{k}}\right)$$

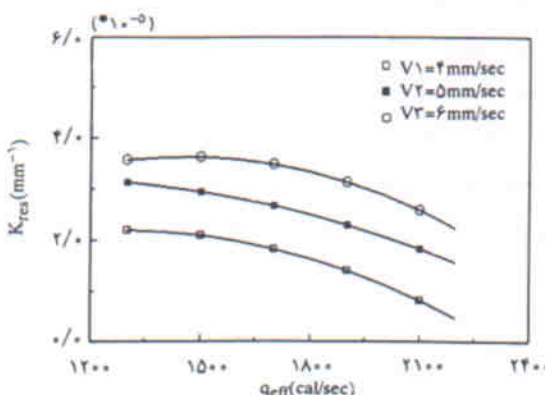
$$T_{max} = T\left(\frac{1}{h}, \frac{1}{\sqrt{v}}, q_{eff}, \frac{1}{\sqrt{r}}, \frac{1}{\sqrt{c}}, \frac{1}{\sqrt{k}}\right)$$

$$T_{max} = T\left(\frac{1}{h}, \frac{1}{v}, q_{eff}, \frac{1}{r}, \frac{1}{c}, \frac{1}{k}\right) \quad (7)$$

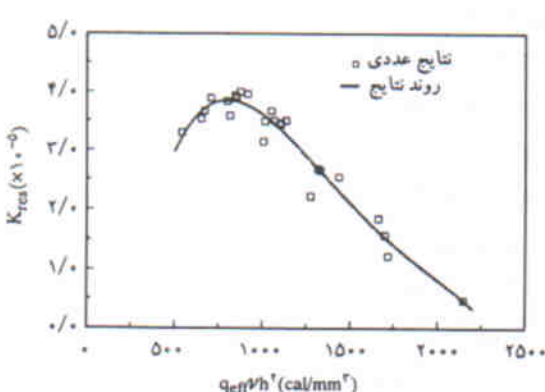
است. در این شکل ملاحظه می‌شود که با افزایش ضخامت و سرعت‌ها انحناء زیاد و یا شعاع انحناء کم می‌شود. بر عکس، در شکل ۱۸ با افزایش  $q_{eff}$  انحناء پسماند ورق کم می‌شود که از فیزیک فرایند قابل پیش‌بینی است. در شکل ۱۹ نیز روند تغیرات غیرخطی انحناء پسماند به‌ازاء متغیر  $q_{eff}/h^2$  ملاحظه می‌شود. در این شکل پیش‌بینی می‌شود که به‌ازاء یک مقدار معین از متغیر بالا انحناء ایجاد شده بیشینه خواهد بود.



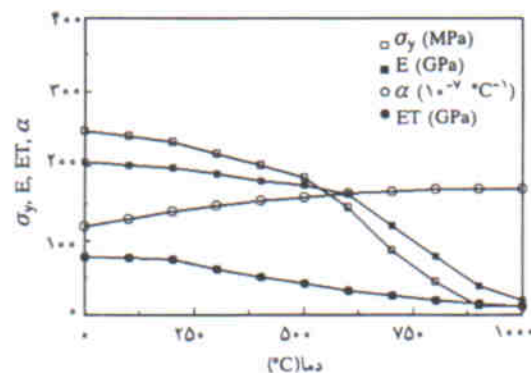
شکل ۱۷. انحناء پسماند ورق به‌ازاء  $h$  در سرعت‌های مختلف مشعل.



شکل ۱۸. انحناء پسماند ورق به‌ازاء  $q_{eff}$  در سرعت‌های مختلف مشعل.



شکل ۱۹. روند تغیرات انحناء پسماند ورق به‌ازاء  $q_{eff}/h^2$ .



شکل ۲۰. خواص مکانیکی مواد به صورت تابع درجه حرارت.

جدول ۱. پارامترهای گرمایش و سطوح تغیرات نمونه آنها.

سطح سوم	سطح دوم	سطح اول	
۲۰	۱۸	۱۶	$h$ (mm)
۶	۵	۴	$\gamma$ (mm/sec)
۲۲۰۰	۱۷۰۰	۱۳۰۰	$q_{eff}$ (cal/sec)

مدول کشسانی، شبیه خط منحنی تنش گرنش در ناحیه خمیری و ضریب انبساط طولی ماده، چنان که در «مقدمه» اشاره شد در این تحقیق از انحناء پسماند ورق به عنوان شاخص تغییر شکل استفاده می‌شود. از مطالعات بخش قبل چنین نتیجه می‌شود که می‌توان سه پارامتر  $h$ ,  $h$ ,  $q_{eff}$  را به عنوان پارامترهای مؤثر بر تغییر شکل فرق کرد. برای بررسی نقش پارامترهای فوق بر میزان انحناء پسماند ورق می‌توان شبیه‌سازی‌هایی براساس مقادیر مختلف این پارامترها ترتیب داد. برای این منظور می‌توان از روش  $3^k - 3$  استفاده کرد که  $3^3 = 27$  تعداد پارامترهای مؤثر است. در این روش با در نظر گرفتن نحوه تأثیر متغیرهای شماره ۹ درجه اهمیت آنها را تعیین کرد. در این مطالعه با علم به مؤثر بودن سه پارامتر بالا، میزان اهمیت و ارتباط بین متغیرهای مؤثر شماره ۹ با انحناء پسماند بررسی می‌شوند.

با این فرایند ورقهایی به ضخامت  $h = 6$  mm شکل داده می‌شوند. همچنین از سرعت‌های  $0.5$  mm/sec تا  $1/2$  mm/sec استفاده شده است. در اینجا رایج‌ترین مقادیر پارامترها طبق جدول ۱ انتخاب می‌شوند. در این تحلیل‌ها طول و عرض ورق به ترتیب  $200 \times 600$  mm می‌باشد. در نظر گرفته شده و تغییر شکل آن برای یک خط گرمایش واقع در وسط ورق مطالعه می‌شود.

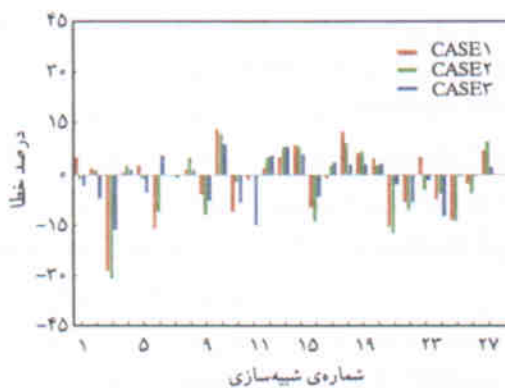
شکل‌های ۱۷ و ۱۸ تغییر انحناء پسماند ورق در راستای خط گرمایش، به‌ازاء مقادیر مختلف پارامترهای مؤثر را نشان می‌دهند. در شکل ۱۷ به‌ازاء  $q_{eff}$  ثابت، تغییرات انحناء پسماند با تغییر ضخامت ورق به‌ازاء سرعت‌های مشعل ثابت متفاوت نشان داده شده

جدول ۲. ضریب همبستگی متغیرهای نامزد نسبت به انحنای پسماند ورق.

ضریب همبستگی	متغیر	شاره متغیر
-0.588	$\frac{q_{eff}}{T_{max}\sqrt{vh}}$	۱
-0.679	$\frac{q_{eff}}{T_{max}\sqrt{vh^2}}$	۲
-0.728	$\frac{q_{eff}}{T_{max}\sqrt{vh^3}}$	۳
-0.458	$\frac{q_{eff}}{T_{max}\sqrt{v}}$	۴
-0.851	$\frac{q_{eff}}{T_{max}vh}$	۵
-0.648	$\frac{q_{eff}}{T_{max}v^2}$	۶
-0.9	$\frac{q_{eff}}{T_{max}vh^2}$	۷
-	-	۸

جدول ۳. ضرایب متغیرهای ورودی در روابط سه گانه رگرسیون.

شماره	ضرایب	متغیر	حالات ۱	حالات ۲	حالات ۳
۱	ثابت		۱/۱۱e-۲	۱/۱e-۲	۲/۵۹e-۳
۲	X <sub>۱</sub>		-5/4e+1	-5/4e+0	+/-0e+0
۳	X <sub>۲</sub>		2/22e+2	2/97e-1	-5/2e+0
۴	X <sub>۳</sub>		-3/4e+2	2/1e+0	2/29e+1
۵	X <sub>۴</sub>		4/24e+0	+/-0e+0	+/-0e+0
۶	X <sub>۵</sub>		6/2e+0	5/9e-1	5/98e+0
۷	X <sub>۶</sub>		-1/62e-1	+/-0e+0	+/-0e+0
۸	X <sub>۷</sub>		-9/8e+1	-1/82e+1	-1/8e+2
۹	X <sub>۲</sub> X <sub>۲</sub>		+/-0e+0	+/-0e+0	+/-0e+0
۱۰	X <sub>۲</sub> X <sub>۳</sub>		+/-0e+0	+/-0e+0	-2/44e+2
۱۱	X <sub>۵</sub> X <sub>۵</sub>		+/-0e+0	+/-0e+0	-5/11e+1
۱۲	X <sub>۵</sub> X <sub>۷</sub>		+/-0e+0	+/-0e+0	1/4e-92e+4



شکل ۲. درصد خطای تابع محاسباتی از روابط رگرسیون نسبت به تابع شپیماسازی های عددی.

## تحلیل رگرسیون چندتایی

در این تحقیق در ادامه مطالعات پارامتری تغییر شکل ورق، از متغیرهای بی بعد شده زیر به عنوان متغیرهای ورودی پیشنهادی استفاده می شود:

متغیرهای ورودی  $\{x_i\} (i=1, \dots, 7)$

$$=\left\{\frac{q_{eff}}{T_{max}\sqrt{vh}}, \frac{q_{eff}}{T_{max}\sqrt{vh^2}}, \frac{q_{eff}}{T_{max}\sqrt{vh^3}}, \frac{q_{eff}}{T_{max}\sqrt{v}}, \frac{q_{eff}}{T_{max}vh}, \frac{q_{eff}}{T_{max}v^2}, \frac{q_{eff}}{T_{max}vh^2}\right\} \quad (11)$$

با ضریب «انحنا پسماند» در طول «خط گرمایش»، متغیرهای ورودی بی بعد شده و با نماد  $k_{res}^{'} \text{نشان داده می شود. در اینجا برای تعیین پارامترهای گرمایش به رابطه می نیاز است که انحنای پسماند را به صورت تابعی از متغیرهای ورودی بیان کند. این تابع را می توان به صورت زیر نوشت:$

$$k_{res}^{'} = f(x_i) \quad (12)$$

براساس تابع شبیه سازی های کشسانی - خمیری گرمایی، در جدول ۲ ضریب همبستگی متغیرهای ورودی نسبت به انحنای پسماند ورق نوشته شده اند. همان طوری که در این جدول ملاحظه می شود، متغیر هفتم و پنجم بالاترین ضریب همبستگی و در نتیجه بیشترین نقش را در تغییر انحنای دارند. برای یافتن  $f(x_i)$  روش رگرسیون چندتایی به کار می رود. در این روش می توان انحنای پسماند را به صورت ترکیبی خطی از متغیرهای ورودی در نظر گرفت، به طوری که:

$$k_{res}^{'} = \beta_0 + \sum_{i=1}^V \beta_i x_i \quad (13)$$

برای در نظر گرفتن تعامل بین متغیرها می توان حاصل ضرب دو یا چند متغیر را به عنوان یک متغیر مستقل در نظر گرفت. برای تعیین رابطه (13) باید ضرایب  $\beta_0, \beta_1, \beta_2$  را تعیین کرد. در اینجا از میان حالت های ممکن، سه حالت محتمل تر با عنوانین حالت ۱، حالت ۲ و حالت ۳ مورد بررسی قرار می گیرند. در حالت ۱ قشن هر ۷ متغیر شماره ۱۱ ارزیابی می شود. در حالت ۲ با توجه به ضریب همبستگی کمتر متغیرهای اول، چهارم و ششم، آنها را نادیده گرفته و مجدداً رابطه خطی بین سایر متغیرها و انحنای پسماند بررسی می شود. در حالت ۳ متغیرهای حالت ۲ همراه با توان دوم آنها در نظر گرفته می شوند. در جدول ۳ ضرایب رگرسیون مربوط به حالت های سه گانه فوق ارائه شده اند. ضرایب صفر نشان دهنده عدم حضور متغیر نظیر آنها در رابطه رگرسیون است. در شکل ۲، با در نظر گرفتن تابع

## نتیجه گیری

در این نوشتار به مطالعه‌ی پارامتری فرایند خمکاری شعله‌ی پرداخته شد و از معیار جدیدی برای سنجش میزان تغییر شکل ورق استفاده شد. برای این منظور با انتخاب انحنای پسمند ورق در راستای خط گرمایش به عنوان شاخص تغییر شکل ورق، ابتدا پارامترها و متغیرهای مؤثر بر آن تعیین شدند. سپس با انجام شبیه‌سازی‌های کشسانی - خمیری گرمایی حالت‌های مختلف از مقادیر پارامترهای مؤثر مورد بررسی قرار گرفتند. از نتایج شبیه‌سازی‌های انجام گرفته و با استفاده از تحلیل رگرسیون چندتایی، رابطه‌ی بین پارامترهای مؤثر بر فرایند و انحنای پسمند ورق استخراج شد. از نتایج به دست آمده پیداست که رابطه‌ی استخراج شده با درصد اطمینان خوبی قابل کاربرد برای تعیین شرایط گرمایش در این فرایند است.

در این تحقیق، داده‌های لازم برای تحلیل آماری از نتایج شبیه‌سازی‌های کشسانی - خمیری گرمایی تأمین شده‌اند که اعتبار و صحت این شبیه‌سازی‌ها قبلاً با مقایسه‌ی نتایج تحلیلی و تجربی تأیید شده‌اند.<sup>[10]</sup> تحلیل‌های آماری نیز حاکی از دقت قابل قبول رابطه‌ی به دست آمده‌اند. به هر حال در ادامه‌ی این تحقیق می‌توان به آزمون‌های تجربی بیشتری پرداخت.

براین اساس معیار انحنای نرمال ورق در راستای خط گرمایش را می‌توان برای تعیین مسیرهای گرمایش نیز استفاده کرد. به این ترتیب مکان هندسی نقاط دارای انحنای نرمال یکسان قابلیت تعیین موقعیت خطوط گرمایش را دارد.

جدول ۴. درصد میانگین خطاهای محاسبه شده برای نتایج شبیه‌سازی‌های عددی انجام شده.

شاره	حالات	حالات	حالات
درصد میانگین خطاهای انحراف معیار خطاهای ضریب تعیین	-۱/۷	-۱/۵	-۰/۶
انحراف معیار خطاهای ضریب تعیین	۹/۶	۱۰/۲	۶/۸
ضریب تعیین	۹۲/۹	۹۱/۷	۹۶/۵

شبیه‌سازی‌ها به عنوان مبنا، درصد خطاهای ناشی از برازش مدل رگرسیون برای هر حالت رسم شده‌اند. در جدول ۴ میانگین خطاهای انحراف معیار و ضریب تعیین آنها نوشته شده‌اند. از نتایج ارائه شده در این جدول پیداست که به طور کلی میانگین خطاهای و توزیع آنها در وضعیت قابل قبولی است. از مقادیر ضریب تعیین هر حالت نتیجه می‌شود که با روابط سه‌گانه فوق می‌توان بیش از ۹۱ درصد از تغییرات انحنای پسمند را ناشی از تغییرات متغیرهای ورودی لحاظ شده دانست و کمتر از ۹ درصد تغییرات ناشی از عوامل تصادفی و ناشناخته‌اند. همچنین از نتایج جداول آنالیز واریانس مربوطه ملاحظه می‌شود که نسبت F مربوط به هر حالت بیش از مقدار بحرانی آن است، و این امر حاکی از مهم بودن روابط رگرسیون استخراج شده است. در حالت ۲ با حذف سه متغیر، نتایج در حد قابل قبولی باقی می‌مانند و این امر نشان می‌دهد که می‌توان از نقش متغیرهای فوق صرف نظر کرد. همچنین ملاحظه می‌شود که در نتایج مربوط به حالت ۳ مقدار ضریب تعیین نیز افزوده می‌شود؛ به طوری که رابطه‌ی استخراج شده در حالت ۳ را می‌توان به عنوان رابطه‌ی نظری بین پارامترهای گرمایش و انحنای پسمند در نظر گرفت.

## منابع

1. Suhara, T., "Study of thermo plastic working: bending of beam of rectangular cross section", *Journal of Zosen Kyokai*, 103, pp 233-243 (1958).
2. Nomoto, T. and Ohmori, T., "Development of simulator for plate bending by line-heating", *Journal of the Society of Naval Architects of Japan*, 168, pp 527-535 (1990).
3. Shin, J.G., Lee, J.H. and Park, S.K., "A numerical thermoplastic analysis of heating processes for saddle type shells with the application of an artificial neural network", *Journal of Ship Production*, 12 (1), pp 10-20 (Feb 1999).
4. Lee, J.S., "Development of automatic marking generation system for plate forming by line heating", pp 247-253 (1995).
5. Ueda, Y., Murakawa, H., Rashwan, A.M., Okumoto, Y. and Kamichika, R., "Development of computer-aided process planning system for plate bending (report 3)- relation between heating condition and deformation", *Journal of Ship Production*, 10 (4), pp 248-257 (1994).
6. Lee, J.H., "Three-dimensional simulation of the mechanics of line heating", M.S. Thesis, Department of naval Architecture and Ocean Engineering, Seoul National University, Seoul, Korea (1995).
7. Clausen, H.B., "Three dimensional numerical simulation of plate forming by line heating", ICCAS, pp 387-398 (1999).
۸. همتی، سید جلال، نیازی، محمدعلی، معرفت، مهدی، و نقدآبادی، رضا، «تحلیل حرارتی فرایند خمکاری شعله‌ی به روش اجزاء محدود»، نشریه‌ی علمی و مهندسی امیرکبیر (در دست چاپ).
۹. همتی، سید جلال، نیازی، محمدعلی، معرفت، مهدی، و نقدآبادی، رضا، «کاربرد حل تحلیلی انتقال حرارت در شکل دهنی ورق به روش خمکاری شعله‌ی»، نشریه‌ی علمی و پژوهشی فردویی (در دست بررسی).
۱۰. همتی، سید جلال، نیازی، محمدعلی، معرفت، مهدی، و نقدآبادی، رضا، «تحلیل تغییر شکل ترمومالاستیک پلاستیک ورق در فرایند شکل دهنی خمکاری شعله‌ی»، نشریه‌ی علمی و پژوهشی استقلال (در دست چاپ).